# Rotor 3

- Français
- English

Downloadable models
×

**Open access**

**Git project**

## About

Rotor 3 is part of a research program to study study the effects of blade solidity on efficiency and stall margin.Stall margin for design speed was 6. 4 percent based on the weight flow and pressure ratio values at peak efficiency and just prior to stall.Calculations based on radial surveys of total pressure, total temperature, and flow angle indicated that the losses were lower than design except in the region of the damper and the hub.

- Original NASA technical report [(cite:hager1972performance>Hager. «Performance of a 1380-foot-per-second-tip-speed axial-flow compressor rotor with a blade tip solidity of 1.3 » 2013. pdf)]:

```
@TechReport{hager1972performance,
  author           = {Hager, Roy D and Janetzke, David C and Reid, Lonnie},
  date             = {1972},
  institution      = {NASA Lewis Research Center Cleveland, OH, United
States},
  title            = {Performance of a 1380-foot-per-second-tip-speed axial-
flow compressor rotor with a blade tip solidity of 1.3},
  number           = {NASA-TM X-2448},
  url              = {https://ntrs.nasa.gov/citations/19720012341},
}
```

- Pictures :

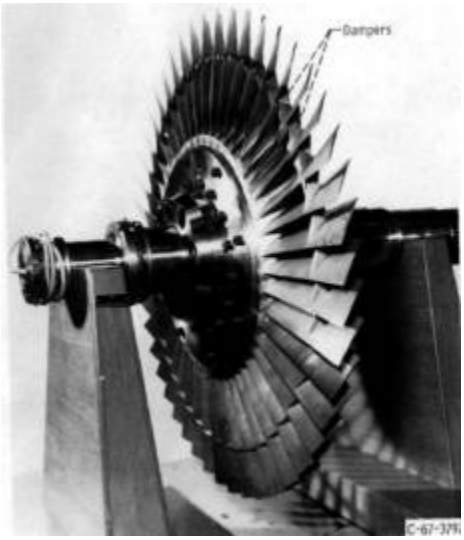



Fig1. https://ntrs.nasa.gov/citations/19720012341 p.66

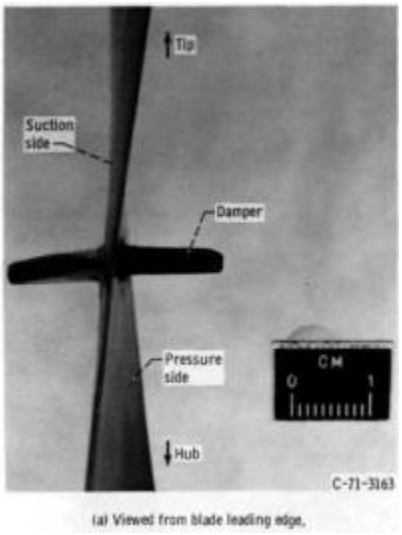



Fig2. https://ntrs.nasa.gov/citations/19720012341 p.67

**Useful documents**

- downloadable models (Git project)
  - rapport technique original de la NASA (.pdf)
  - geometrical parameters file (.csv), usable as input of OpenMCAD[(cite:Kojtych_2022_gene_aubes>Kojtych S., Batailly A. «OpenMCAD, an open blade generator: from Multiple-Circular-Arc profiles to Computer-Aided Design model» 2022. code en libre accès)] to generate reference blade models.

# Reference blade

The **reference blade** is defined with multiple-circular arc profiles[(cite:Crouse_1969_computer)] given in the original NASA report[(cite:hager1974design)]. Corresponding models are computed with the open-

source code OpenMCAD[(cite:Kojtych_2022_gene_aubes)].

## Geometry

The geometry of rotor 3 is described in the original NASA report by the following table. The lenghts are in inches and the angles in degrees.

TABLE III. - BLADE GEOMETRY FOR ROTOR 3

| RP | PERCENT SPAN | RADII RI | RADII RO | BLADE ANGLES KIC | BLADE ANGLES KTC | BLADE ANGLES KOC | DELTA INC |
|---|---|---|---|---|---|---|---|
| TIP | 0. | 9.885 | 9.769 | 62.50 | 58.45 | 47.30 | 2.10 |
| 1 | 5. | 9.729 | 9.578 | 61.80 | 57.37 | 46.80 | 2.26 |
| 2 | 10. | 9.510 | 9.386 | 60.62 | 55.92 | 46.30 | 2.57 |
| 3 | 30. | 8.598 | 8.620 | 55.62 | 50.08 | 44.42 | 4.11 |
| 4 | 40. | 8.127 | 8.237 | 53.20 | 47.11 | 41.00 | 4.90 |
| 5 | 42. | 8.020 | 8.142 | 52.60 | 46.43 | 40.03 | 5.04 |
| 6 | 45. | 7.893 | 8.046 | 52.00 | 45.63 | 39.13 | 5.17 |
| 7 | 48. | 7.772 | 7.950 | 51.44 | 44.85 | 38.03 | 5.34 |
| 8 | 50. | 7.652 | 7.854 | 50.90 | 44.07 | 37.03 | 5.47 |
| 9 | 70. | 6.665 | 7.089 | 46.70 | 37.25 | 27.45 | 6.54 |
| 10 | 90. | 5.558 | 6.323 | 44.20 | 29.54 | 14.55 | 7.31 |
| 11 | 95. | 5.240 | 6.131 | 44.10 | 27.26 | 10.82 | 7.42 |
| HUB | 100. | 5.000 | 5.940 | 44.00 | 25.51 | 6.10 | 7.47 |

| RP | BLADE THICKNESSES TI | BLADE THICKNESSES TM | BLADE THICKNESSES TO | AXIAL DIMENSIONS ZMC | AXIAL DIMENSIONS ZTC | AXIAL DIMENSIONS ZOC | CONE ANGLE |
|---|---|---|---|---|---|---|---|
| TIP | 0.020 | 0.061 | 0.020 | 0.563 | 0.563 | 0.894 | -6.300 |
| 1 | 0.020 | 0.064 | 0.020 | 0.564 | 0.564 | 0.927 | -5.800 |
| 2 | 0.020 | 0.068 | 0.020 | 0.565 | 0.565 | 0.962 | -4.700 |
| 3 | 0.020 | 0.085 | 0.020 | 0.552 | 0.552 | 1.109 | 0.900 |
| 4 | 0.020 | 0.094 | 0.020 | 0.551 | 0.551 | 1.183 | 4.100 |
| 5 | 0.020 | 0.096 | 0.020 | 0.561 | 0.561 | 1.200 | 5.000 |
| 6 | 0.020 | 0.098 | 0.020 | 0.573 | 0.573 | 1.217 | 5.800 |
| 7 | 0.020 | 0.101 | 0.020 | 0.581 | 0.581 | 1.234 | 6.700 |
| 8 | 0.020 | 0.103 | 0.020 | 0.589 | 0.589 | 1.252 | 7.600 |
| 9 | 0.020 | 0.122 | 0.020 | 0.650 | 0.650 | 1.390 | 15.600 |
| 10 | 0.020 | 0.143 | 0.020 | 0.689 | 0.689 | 1.486 | 26.800 |
| 11 | 0.020 | 0.149 | 0.020 | 0.688 | 0.688 | 1.488 | 30.400 |
| HUB | 0.020 | 0.154 | 0.020 | 0.685 | 0.685 | 1.486 | 32.600 |

## Aerodynamic design

| | unit | values |
|---|---|---|
| **pressure ratio** | [-] | 1.801 |
| **mass flow** | [kg/s] | 29 |
| **tip speed** | [m/s] | 420.6 |
| **tip solidity** | [-] | 1.3 |
| **aspect ratio** | [-] | 2.53 |
| **rotative speed** | [rad/s] | 1675.52 |

## Material properties

The material of rotor 3 is defined in the original NASA report. A 200-grade maraging steel is considered:

| | unité | valeurs |
|---|---|---|

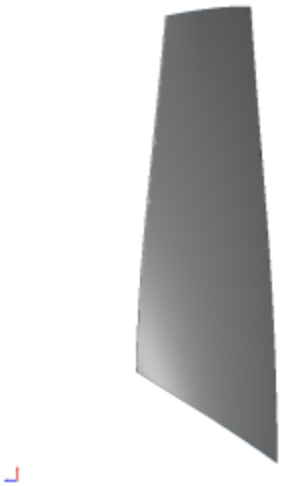
| | unité | valeurs |
|---|---|---|
| **alloy** | [-] | 18-Ni-200-maraging |
| **Young's modulus** | [GPa] | 180 |
| **density** | [kg/m3] | 8000 |
| **Poisson's ratio** | [-] | 0.3 |
| **yield stress** | [GPa] | 1.38 |

## CAD model

The CAD model is computed with the open source code OpenMCAD[(cite:Kojtych_2022_gene_aubes)].



intrados



extrados

## Natural frequencies

First three natural frequencies (with clamped root) for the mesh computed with OpenMCAD[(cite:Kojtych_2022_gene_aubes)]:

| Mode | Type | Natural angular frequency (rad/sec) | Natural frequency (Hz) |
|---|---|---|---|
| 1 | À Remplir stp | 1722.54 | 274,15 |
| 2 | À Remplir stp | 6548.96 | 1042,3 |
| 3 | À Remplir stp | 8224.31 | 1308,94 |

# Initial blade

The **initial blade** is defined with in-house LAVA parameters[(cite:Kojtych_2022_Methodology)] computed from the reference blade CAD model. The initial blade is usually used as starting point for an optimization process. Its geometry is similar to the one of the reference blade.

## Natural frequencies

First three natural frequencies (with clamped root)

- from the whole mesh:

| Mode | Type | Natural angular frequency (rad/sec) | Natural frequency (Hz) |
|---|---|---|---|
| 1 | À Remplir stp | 1728.06 | 275,029 |
| 2 | À Remplir stp | 6559.27 | 1043,94 |
| 3 | À Remplir stp | 8243.04 | 1311,92 |

- from the reduced order model:

| Mode | Type | Natural angular frequency (rad/sec) | Natural frequency (Hz) |
|---|---|---|---|
| 1 | À Remplir stp | 1728.11 | 275,038 |
| 2 | À Remplir stp | 6561.34 | 1044,27 |
| 3 | À Remplir stp | 8245.298 | 1312,28 |

Modèles téléchargeables

×

**Libre accès**

**lien vers le projet Git**

# À propos

Le rotor 3 fait partie d'un programme de recherche pour étudier les effets de la solidité des pales sur le rendement et la marge de décrochage d'un compresseur à flux axial. Il fait partie d'une série de rotors conçus avec une solidité d'aube variable obtenue en modifiant la longueur de la corde de l'aube : le rotor 3 possède une solidité en tête de 1.3, le rotor 4 possède une solidité en tête de 1.1 et le rotor 5 possède une solidité en tête de 1.5.

Les résultats montrent que le taux de compressions, le ratio de température et le rendement du rotor 3 sont plus élevées que ceux prévues lors de la conception car les pertes effectives sont inférieures à celles estimées lors de la conception.

- Rapport technique original [(cite:hager1972performance>)]:

```
@TechReport{hager1972performance,
  auteur           = {Hager, Roy D and Janetzke, David C and Reid, Lonnie},
  date             = {1972},
  institution      = {NASA Lewis Research Center Cleveland, OH, United
States},
  titre           = {Performance of a 1380-foot-per-second-tip-speed axial-
flow compressor rotor with a blade tip solidity of 1.3},
  numéro           = {NASA-TM X-2448},
  url              = {https://ntrs.nasa.gov/citations/19720012341},
}
```

- Photographies :

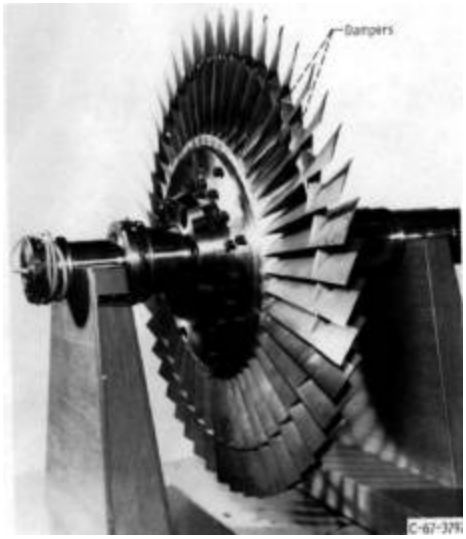



Fig1. https://ntrs.nasa.gov/citations/19720012341 p.66

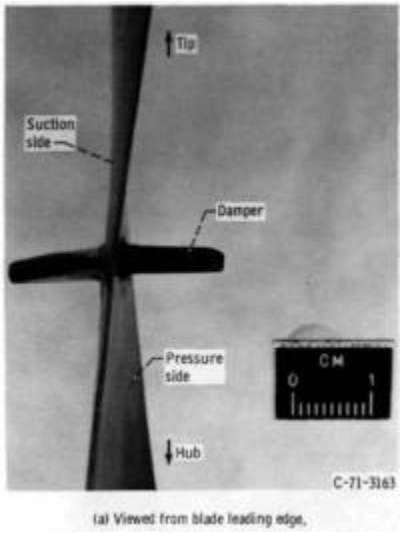



Fig2. https://ntrs.nasa.gov/citations/19720012341 p.67

**Documents utiles**

- modèles téléchargeables (lien vers projet Git)
  - rapport technique original de la NASA (.pdf)
  - fichier de paramètres géométriques (.csv), utilisable en entrée de OpenMCAD[(cite:Kojtych_2022_gene_aubes>Kojtych S., Batailly A. «OpenMCAD, an open blade generator: from Multiple-Circular-Arc profiles to Computer-Aided Design model» 2022. code en libre accès)] pour générer l'aube de référence

# Aube de référence

L'**aube de référence** est définie par des profils de type arcs circulaires multiples[(cite:Crouse_1969_computer>Crouse *et al*. «A computer program for composing compressor blading from simulated circular-arc elements on conical surfaces » 1969. NASA-TN-D-5437. pdf)], donnés dans le rapport technique original de la NASA[(cite:hager1974design)]. Les modèles associés sont obtenus avec le code en libre accès OpenMCAD[(cite:Kojtych_2022_gene_aubes)].

## Géométrie

La géométrie du rotor 3 est décrite dans le rapport d'origine de la NASA par les tableaux suivants. Les grandeurs sont en pouces et en degrés.

TABLE III. - BLADE GEOMETRY FOR ROTOR 3

| RP | PERCENT SPAN | RADII RI | RO | BLADE ANGLES KIC | KTC | KOC | DELTA INC |
|---|---|---|---|---|---|---|---|
| TIP | 0. | 9.885 | 9.769 | 62.50 | 58.45 | 47.30 | 2.10 |
| 1 | 5. | 9.729 | 9.578 | 61.80 | 57.37 | 46.80 | 2.26 |
| 2 | 10. | 9.510 | 9.386 | 60.62 | 55.92 | 46.30 | 2.57 |
| 3 | 30. | 8.598 | 8.620 | 55.62 | 50.08 | 44.42 | 4.11 |
| 4 | 40. | 8.127 | 8.237 | 53.20 | 47.11 | 41.00 | 4.90 |
| 5 | 42. | 8.020 | 8.142 | 52.60 | 46.43 | 40.03 | 5.04 |
| 6 | 45. | 7.893 | 8.046 | 52.00 | 45.63 | 39.13 | 5.17 |
| 7 | 48. | 7.772 | 7.950 | 51.44 | 44.85 | 38.03 | 5.34 |
| 8 | 50. | 7.652 | 7.854 | 50.90 | 44.07 | 37.03 | 5.47 |
| 9 | 70. | 6.665 | 7.089 | 46.70 | 37.25 | 27.45 | 6.54 |
| 10 | 90. | 5.558 | 6.323 | 44.20 | 29.54 | 14.55 | 7.31 |
| 11 | 95. | 5.240 | 6.131 | 44.10 | 27.26 | 10.82 | 7.42 |
| HUB | 100. | 5.000 | 5.940 | 44.00 | 25.51 | 6.10 | 7.47 |

| RP | BLADE THICKNESSES TI | TM | TO | AXIAL DIMENSIONS ZMC | ZTC | ZOC | CONE ANGLE |
|---|---|---|---|---|---|---|---|
| TIP | 0.020 | 0.061 | 0.020 | 0.563 | 0.563 | 0.894 | -6.300 |
| 1 | 0.020 | 0.064 | 0.020 | 0.564 | 0.564 | 0.927 | -5.800 |
| 2 | 0.020 | 0.068 | 0.020 | 0.565 | 0.565 | 0.962 | -4.700 |
| 3 | 0.020 | 0.085 | 0.020 | 0.552 | 0.552 | 1.109 | 0.900 |
| 4 | 0.020 | 0.094 | 0.020 | 0.551 | 0.551 | 1.183 | 4.100 |
| 5 | 0.020 | 0.096 | 0.020 | 0.561 | 0.561 | 1.200 | 5.000 |
| 6 | 0.020 | 0.098 | 0.020 | 0.573 | 0.573 | 1.217 | 5.800 |
| 7 | 0.020 | 0.101 | 0.020 | 0.581 | 0.581 | 1.234 | 6.700 |
| 8 | 0.020 | 0.103 | 0.020 | 0.589 | 0.589 | 1.252 | 7.600 |
| 9 | 0.020 | 0.122 | 0.020 | 0.650 | 0.650 | 1.390 | 15.600 |
| 10 | 0.020 | 0.143 | 0.020 | 0.689 | 0.689 | 1.486 | 26.800 |
| 11 | 0.020 | 0.149 | 0.020 | 0.688 | 0.688 | 1.488 | 30.400 |
| HUB | 0.020 | 0.154 | 0.020 | 0.685 | 0.685 | 1.486 | 32.600 |

## Caractéristiques aérodynamiques

| | unités | valeurs |
|---|---|---|
| **taux de compression** | [-] | 1.801 |
| **débit massique** | [kg/s] | 29 |
| **vitesse en tête** | [m/s] | 420.6 |
| **solidité en tête** | [-] | 1.3 |
| **allongement** | [-] | 2.53 |
| **vitesse de rotation** | [rad/s] | 1675.52 |

## Propriétés matériau

Le matériau original du rotor 3 est défini dans le rapport de la NASA. Un acier maraging de grade 200 est considéré:

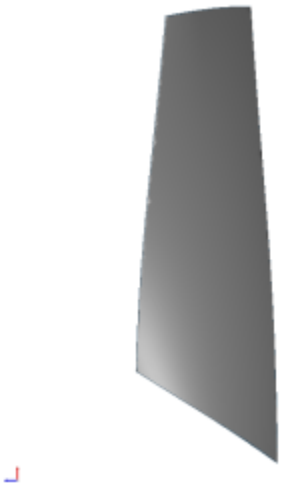
| | unité | valeurs |
|---|---|---|
| **alliage** | [-] | 18-Ni-200-maraging |
| **module d'Young** | [GPa] | 180 |
| **masse volumique** | [kg/m3] | 8000 |
| **coefficient de Poisson** | [-] | 0,3 |
| **limite élastique** | [GPa] | 1,38 |

### Modèle CAO

Le modèle CAO est obtenu avec OpenMCAD[(cite:Kojtych_2022_gene_aubes)].



intrados



extrados

### Fréquences propres

Fréquences des trois premiers modes (noeuds du pied d'aube encastrés) pour le maillage obtenu avec OpenMCAD[(cite:Kojtych_2022_gene_aubes)] :

| Mode | Type | Pulsation propre (rad/sec) | Fréquence propre (Hz) |
|---|---|---|---|
| 1 | À Remplir stp | 1722.54 | 274,15 |
| 2 | À Remplir stp | 6548.96 | 1042,3 |
| 3 | À Remplir stp | 8224.31 | 1308,94 |

## Aube initiale

L'**aube initiale** est définie par des paramètres spécifiques au LAVA[(cite:Kojtych_2022_Methodology>Kojtych S. *et al*. «Methodology for the Redesign of Compressor

Blades Undergoing Nonlinear Structural Interactions: Application to Blade-Tip/Casing Contacts » 2022. Journal of Engineering for Gas Turbines and Power, Vol. 145, No. 5. pdf)] obtenus à partir du modèle CAO de l'aube de référence. L'aube initiale est classiquement utilisée comme point de départ dans le cadre de procédures d'optimisation; sa géométrie est similaire à celle de l'aube de référence.

## Fréquences propres

Fréquences des trois premiers modes (noeuds du pied d'aube encastrés),

- pour le maillage complet :

| Mode | Type | Pulsation propre (rad/sec) | Fréquence propre (Hz) |
|---|---|---|---|
| 1 | À Remplir stp | 1728.06 | 275,029 |
| 2 | À Remplir stp | 6559.27 | 1043,94 |
| 3 | À Remplir stp | 8243.04 | 1311,92 |

- pour le modèle réduit :

| Mode | Type | Pulsation propre (rad/sec) | Fréquence propre (Hz) |
|---|---|---|---|
| 1 | À Remplir stp | 1728.11 | 275,038 |
| 2 | À Remplir stp | 6561.34 | 1044,27 |
| 3 | À Remplir stp | 8245.298 | 1312,28 |

</tabs>

Document issu de la page wiki:
**https://wiki.lava.polymtl.ca/public/modeles/rotor_03/accueil?rev=1677689144**

Dernière mise à jour: **2023/04/05 08:59**